

信号処理システム特論

川村新

Contents

1. デジタル信号とフィルタ
2. フィルタの設計
3. フーリエ変換と窓関数
4. 短時間フーリエ変換, 発声モデル
5. ケプストラム分析
6. 画像の音変換
7. 周波数分析に基づくノイズ除去
8. MAP推定, 音源分離
9. 適応フィルタ
10. ALEと突発ノイズ除去
11. 音響エフェクト
12. リングバッファによるボイスチェンジャ
13. 話速変換とピッチシフタ
14. ヘリウムボイス, コンプレッサ
15. その他の音響エフェクト

- z変換

$$\boxed{\text{z変換}} \quad X(z) = \sum_{n=-\infty}^{\infty} x(n)z^{-n}$$

$$\boxed{\text{片側z変換}} \quad X(z) = \sum_{n=0}^{\infty} x(n)z^{-n}$$

$$\boxed{\text{逆z変換}} \quad x(n) = \oint_C X(z)z^{n-1}dz$$

zは複素数. 振幅 r, 位相(偏角) ω とすると $z = re^{j\omega}$

- 遅延要素のz変換

$$X(z) = \sum_{n=0}^{\infty} x(n)z^{-n}$$

$x(-1), x(-2), \dots$
は存在しないとする

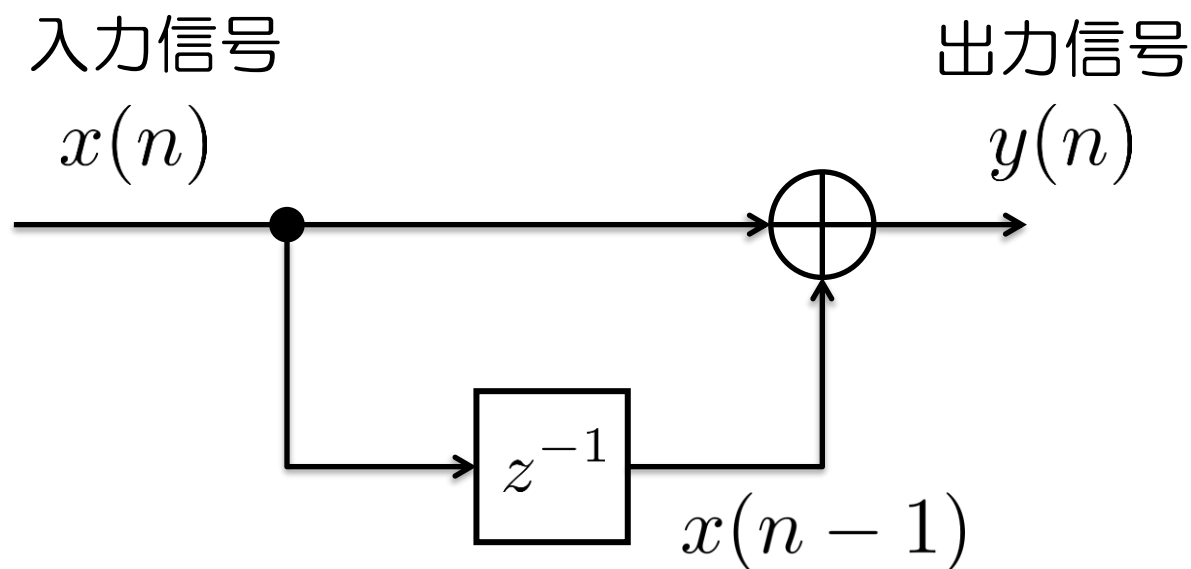
$$\sum_{n=0}^{\infty} \underline{x(n-1)}z^{-n} = \sum_{m=-1}^{\infty} x(m)z^{-m-1}$$

$m = n - 1$
 $\left\{ \begin{array}{l} n : 0 \rightarrow \infty \\ m : -1 \rightarrow \infty \end{array} \right.$

$$= z^{-1} \sum_{m=0}^{\infty} x(m)z^{-m} = z^{-1}X(z)$$

遅延要素は z^{-1} として現れる

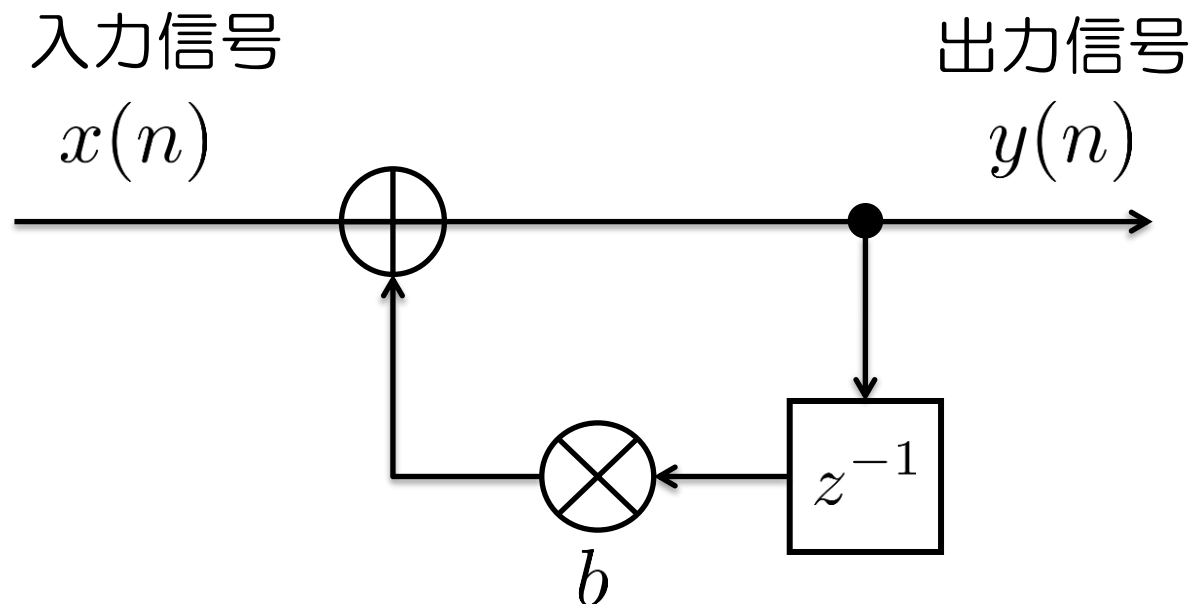
- 入出力関係のz変換（FIR型）



入出力関係 $y(n) = x(n) + x(n-1)$

両辺をz変換 $Y(z) = X(z) + X(z)z^{-1}$

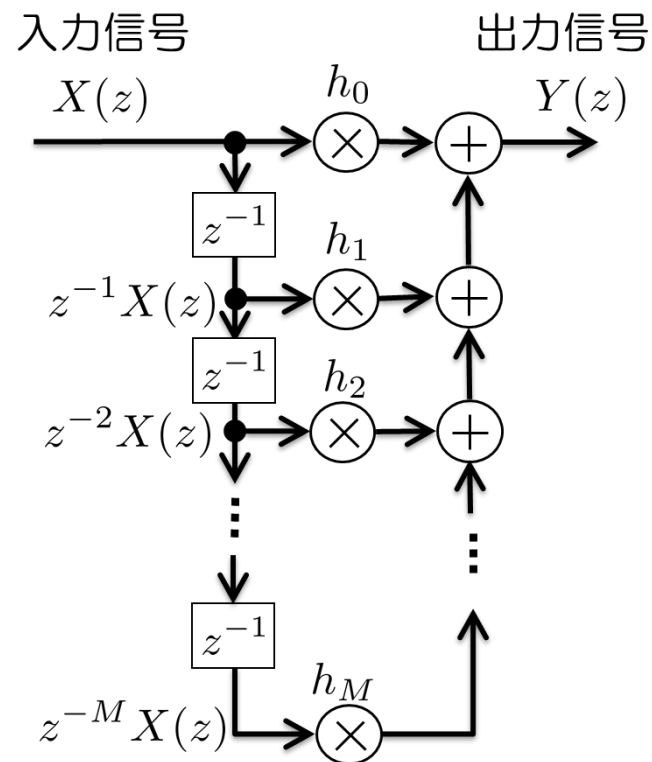
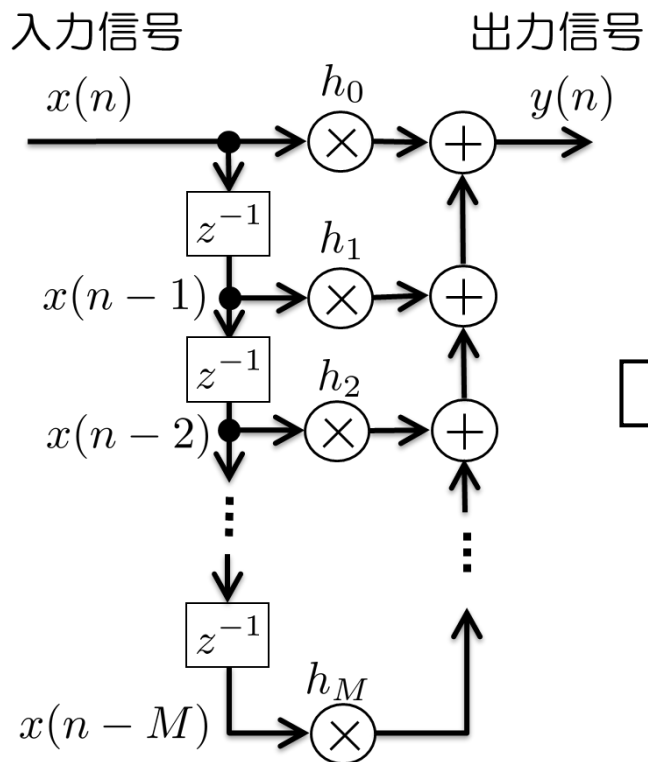
- 入出力関係のz変換（IIR型）



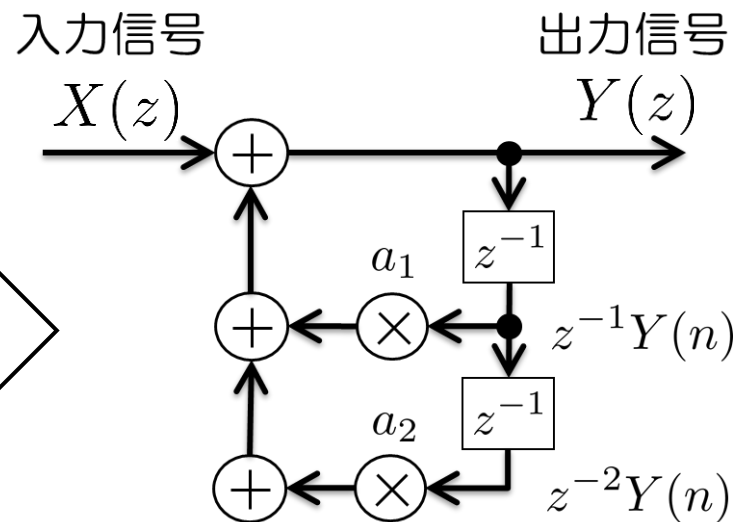
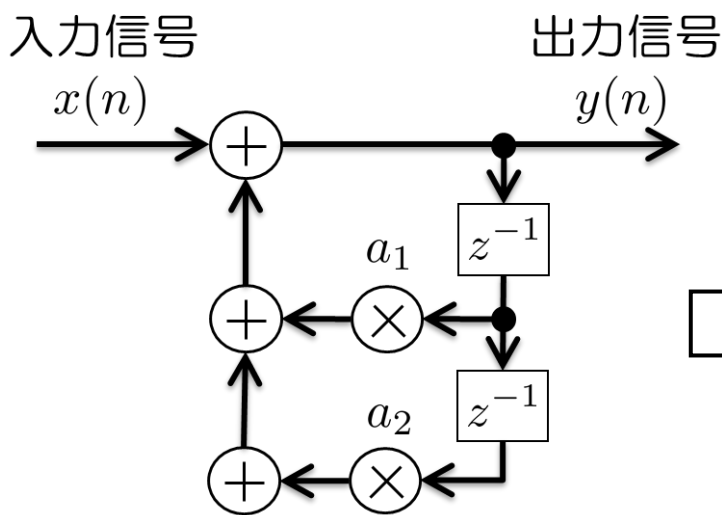
入出力関係 $y(n) = x(n) + by(n - 1)$

両辺をz変換 $Y(z) = X(z) + bY(z)z^{-1}$

FIR型



IIR型



- 伝達関数

伝達関数は出力のz変換を入力のz変換で除したもの

$$H(z) = \frac{Y(z)}{X(z)}$$

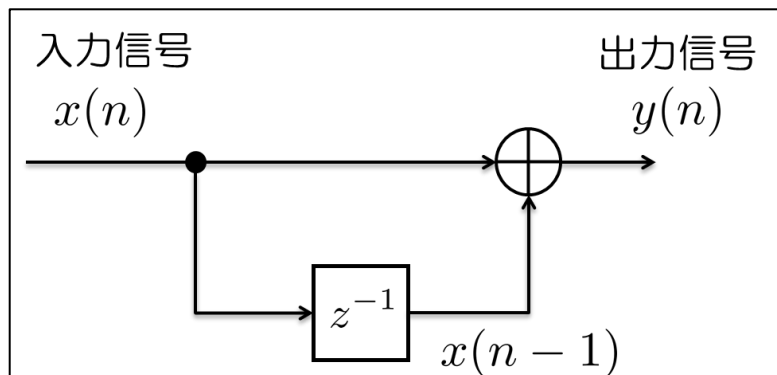
$$Y(z) = X(z) + X(z)z^{-1} \quad \Rightarrow \quad H(z) = 1 + z^{-1}$$

$$Y(z) = X(z) + bY(z)z^{-1} \quad \Rightarrow \quad H(z) = \frac{1}{1 - bz^{-1}}$$

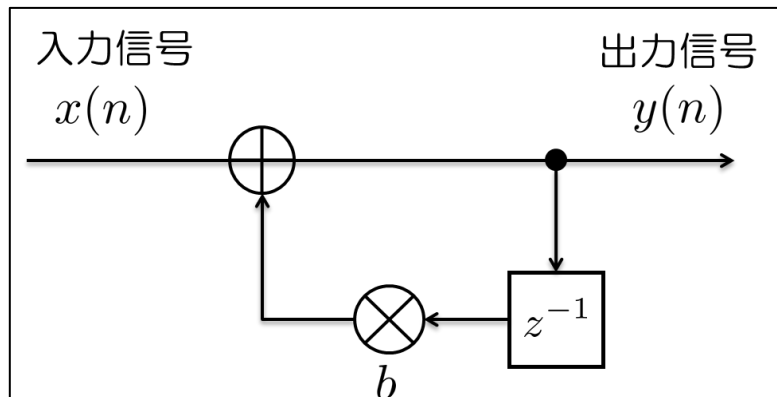
- 周波数特性

フィルタの周波数特性 $H(\omega)$ は,

伝達関数で $z = e^{j\omega}$ とおいたもの ($j = \sqrt{-1}$)

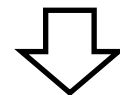


$$Y(z) = X(z) + X(z)z^{-1}$$



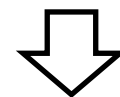
$$Y(z) = X(z) + bY(z)z^{-1}$$

$$H(z) = 1 + z^{-1}$$



$$\text{周波数特性 } H(\omega) = 1 + e^{-j\omega}$$

$$H(z) = \frac{1}{1 - bz^{-1}}$$



$$\text{周波数特性 } H(\omega) = \frac{1}{1 - be^{-j\omega}}$$

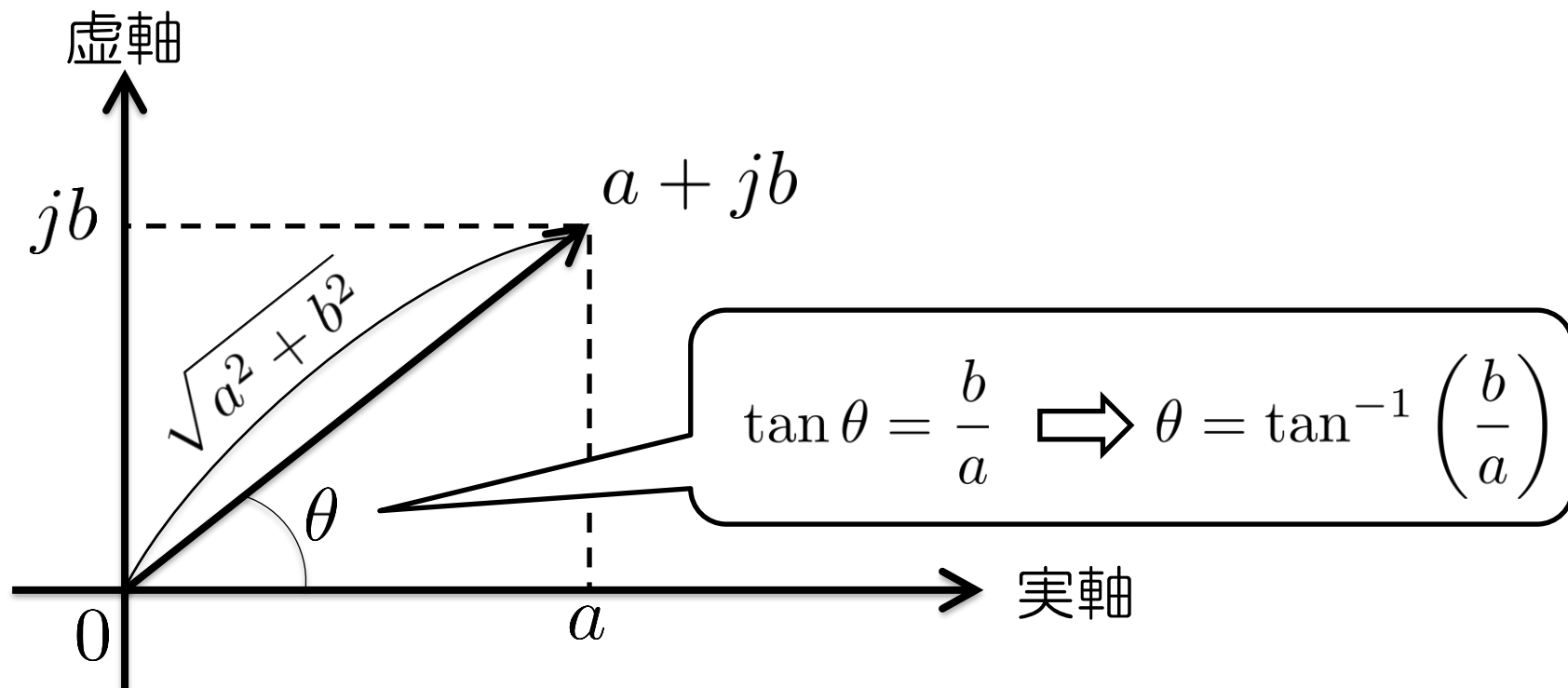
- 周波数振幅特性と周波數位相特性

周波数特性は複素数なので、振幅（絶対値）と位相（偏角）による極座標で表示できる.

$$H(\omega) = |H(\omega)|e^{j\angle H(\omega)}$$

ここで、 $|H(\omega)|$ を周波数振幅特性
 $\angle H(\omega)$ を周波數位相特性
と呼ぶ

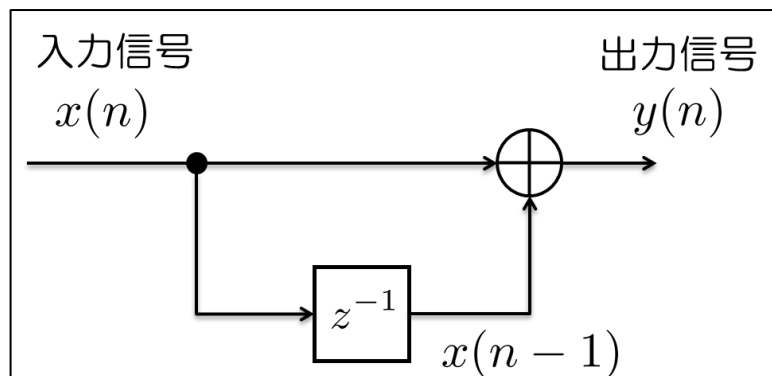
複素数と極座標



$$a = \sqrt{a^2 + b^2} \cos \theta, \quad b = \sqrt{a^2 + b^2} \sin \theta$$

$$\Rightarrow a + jb = \sqrt{a^2 + b^2} (\cos \theta + j \sin \theta)$$

- 周波数振幅特性と位相特性の例

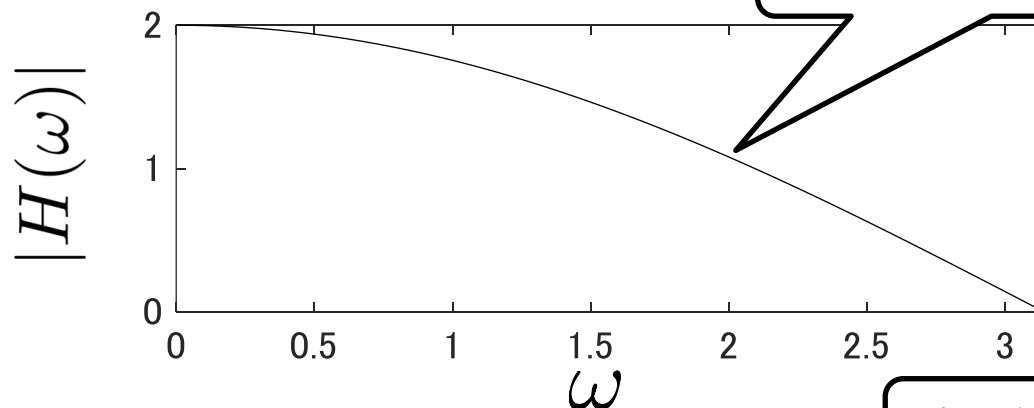


周波数特性

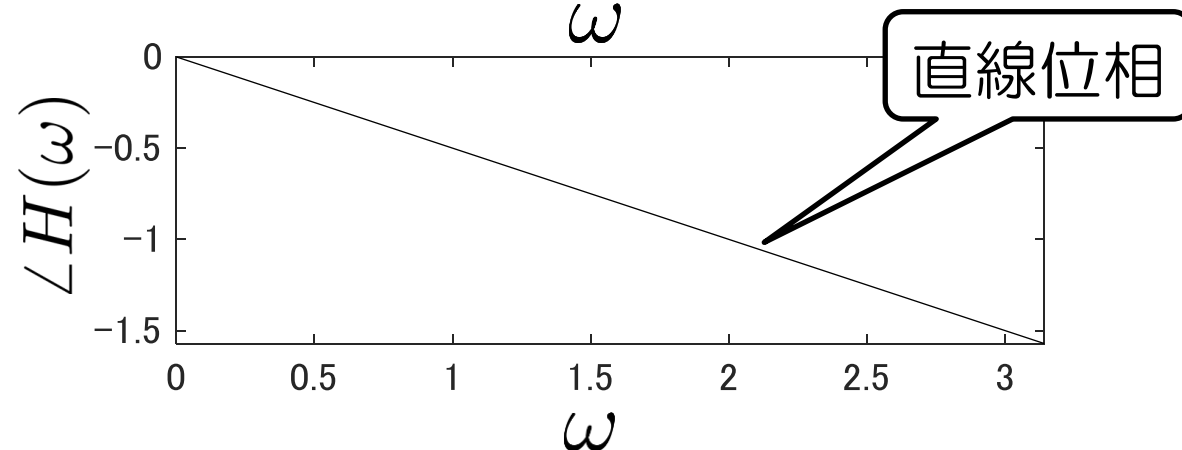
$$H(\omega) = 1 + e^{-j\omega}$$

高い周波数を減衰

周波数振幅特性



周波數位相特性



振幅スペクトルと位相スペクトル

- 離散時間フーリエ変換 (DTFT: Discrete-Time Fourier Transform)

$$X(\omega) = \sum_{n=-\infty}^{\infty} x(n)e^{-j\omega n}$$

$z = e^{j\omega}$ の
z変換と同じ

- 逆離散時間フーリエ変換 (IDTFT: Inverse DTFT)

$$x(n) = \frac{1}{2\pi} \int_{-\pi}^{\pi} X(\omega)e^{j\omega n} d\omega$$

⇒ $X(\omega)$ を(複素)スペクトルと呼ぶ

- DTFTとIDTFTの確認

DTFT

$$X(\omega) = \sum_{l=-\infty}^{\infty} x(l)e^{-j\omega l}$$

$$x(n) = \frac{1}{2\pi} \int_{-\pi}^{\pi} \underline{X(\omega)} e^{j\omega n} d\omega$$

$$= \frac{1}{2\pi} \int_{-\pi}^{\pi} \left(\sum_{l=-\infty}^{\infty} x(l)e^{-j\omega l} \right) e^{j\omega n} d\omega$$

$l = n$ 以外では
積分結果が0

$$= \frac{1}{2\pi} \sum_{l=-\infty}^{\infty} x(l) \int_{-\pi}^{\pi} e^{j\omega(n-l)} d\omega$$

IDTFTにより
 $x(n)$ が得られた

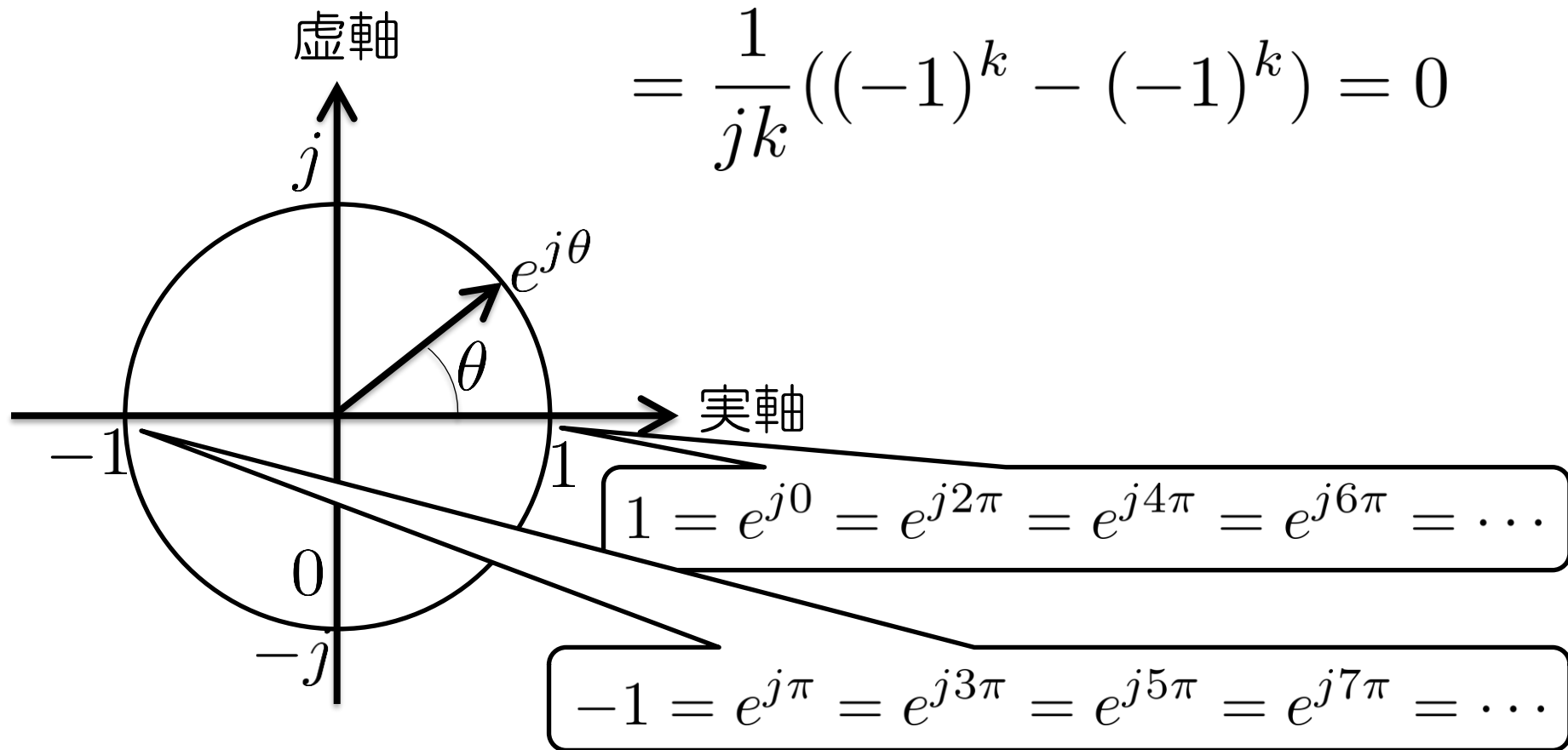
$$= \frac{1}{2\pi} x(n) \int_{-\pi}^{\pi} d\omega = \underline{x(n)}$$

補足資料：複素周期信号の積分

$k = n - l \neq 0$ のとき

$$\int_{-\pi}^{\pi} e^{j\omega k} d\omega = \frac{1}{jk} [e^{j\omega k}]_{-\pi}^{\pi}$$

$$= \frac{1}{jk} ((-1)^k - (-1)^k) = 0$$



- DTFTのスペクトル

複素スペクトル	$X(\omega) = X(\omega) e^{j\angle X(\omega)}$
---------	--

振幅スペクトル	$ X(\omega) $
---------	---------------

位相スペクトル	$\angle X(\omega)$
---------	--------------------

DTFTではスペクトル $X(\omega)$ が ω の数だけある

⇒ ω は実数 ⇒ 無限個のスペクトルがある

⇒ 計算機で扱えない

使用する信号とスペクトルをN個に限定する

N個の信号 $x(0), x(1), \dots, x(N-1)$

N個のスペクトル $X(0), X(1), \dots, X(N-1)$

- 離散フーリエ変換 (DFT: Discrete Fourier Transform)

$$X(k) = \sum_{n=0}^{N-1} x(n) e^{-j \frac{2\pi k}{N} n}$$

- 逆離散フーリエ変換 (IDFT: Inverse DFT)

$$x(n) = \frac{1}{N} \sum_{k=0}^{N-1} X(k) e^{j \frac{2\pi k}{N} n}$$

※ FFTはDFTの高速算法。結果は同じ

- DFTとIDFTの確認

DFT

$$X(k) = \sum_{l=0}^{N-1} x(l) e^{-j \frac{2\pi k}{N} l}$$

$$x(n) = \frac{1}{N} \sum_{k=0}^{N-1} \underline{X(k)} e^{j \frac{2\pi k}{N} n}$$

$$= \frac{1}{N} \sum_{k=0}^{N-1} \left(\sum_{l=0}^{N-1} x(l) e^{-j \frac{2\pi k}{N} l} \right) e^{j \frac{2\pi k}{N} n}$$

$l = n$ 以外では
積和演算が0

$$= \frac{1}{N} \sum_{l=0}^{N-1} x(l) \sum_{k=0}^{N-1} e^{j \frac{2\pi k}{N} (n-l)}$$

$$= \frac{1}{N} x(n) \sum_{k=0}^{N-1} 1 = \underline{x(n)}$$

IDFTにより
 $x(n)$ が得られた

- DFTのスペクトル

複素スペクトル	$X(k) = X(k) e^{j\angle X(k)}$
---------	---------------------------------

振幅スペクトル	$ X(k) $
---------	----------

位相スペクトル	$\angle X(k)$
---------	---------------

ここで, $k = 0, 1, \dots, N - 1$

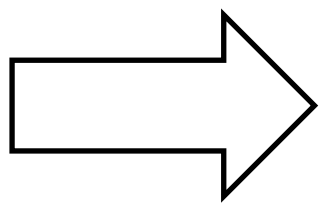
⇒ 計算機で扱えるので, 通常はDFT (FFT) が使用される

⇒ Scilabでは「fft」コマンドが利用できる

例) インパルス信号に対するDFT

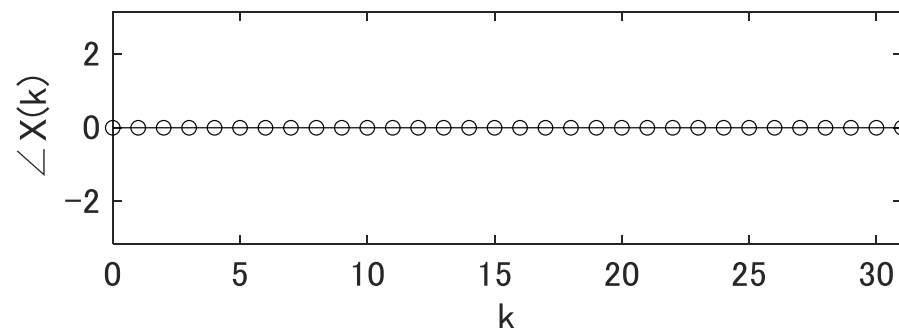
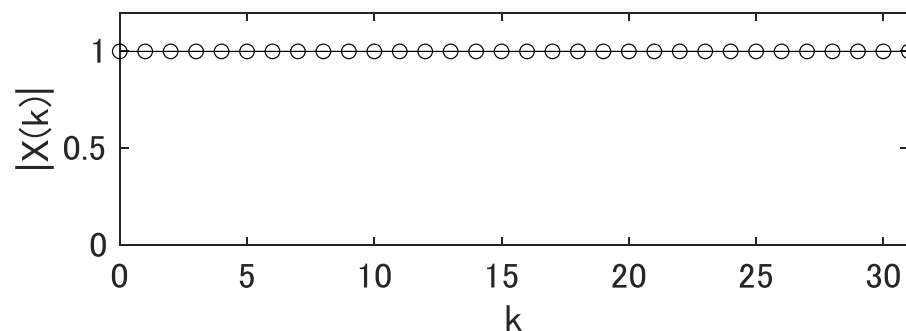
$$x(n) = \begin{cases} 1, & n = 0 \\ 0, & n \neq 0 \end{cases}$$

$$X(k) = \sum_{n=0}^{N-1} x(n) e^{-j \frac{2\pi k}{N} n}$$



$$|X(k)| = 1$$

$$\angle X(k) = 0$$



(N=32のとき)

[Scilab演習]

インパルスに対するFFTを実行し，結果を確認せよ.

Scilabコマンド：fft, abs, angle (atan), plot

[Scilab演習]

正弦波に対するFFTを実行し，結果を確認せよ.

Scilabコマンド：sin, cos

例) 正弦波信号に対するDFT

オイラーの公式より

$$e^{j\theta} = \cos \theta + j \sin \theta$$

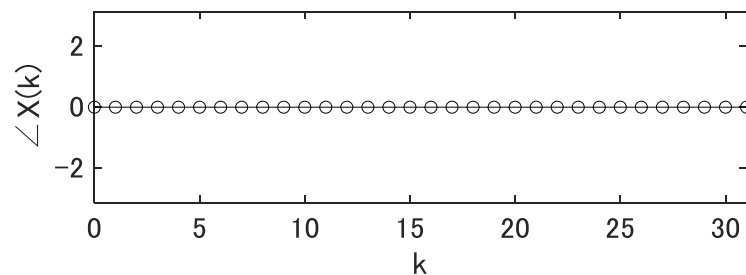
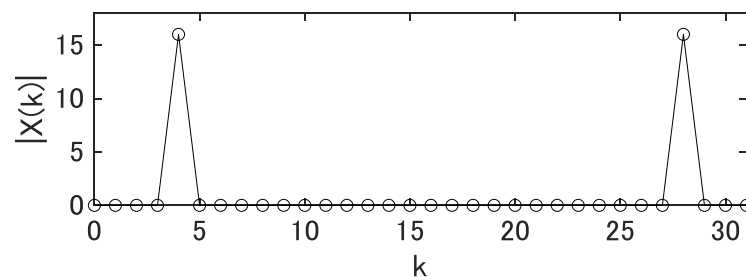
$$e^{-j\theta} = \cos \theta - j \sin \theta$$

$$x(n) = \cos \left(2\pi \frac{4}{N} n \right) = \frac{1}{2} e^{j2\pi \frac{4}{N} n} + \frac{1}{2} e^{-j2\pi \frac{4}{N} n}$$

$$X(k) = \sum_{n=0}^{N-1} x(n) e^{-j2\pi \frac{k}{N} n} = \frac{1}{2} \sum_{n=0}^{N-1} \left(e^{j2\pi \frac{4-k}{N} n} + e^{j2\pi \frac{-4-k}{N} n} \right)$$

$$= \frac{1}{2} \sum_{n=0}^{N-1} \left(e^{j2\pi \frac{4-k}{N} n} + e^{j2\pi \frac{N-4-k}{N} n} \right)$$

$$= \begin{cases} N/2, & k = 4 \\ N/2, & k = N - 4 \\ 0, & \text{otherwise} \end{cases}$$



(N=32のとき)

ラプラス変換

$$F(s) = \int_0^{\infty} f(t) e^{-st} dt$$

$$s = \sigma + j\omega$$

$$= \int_0^{\infty} f(t) \underline{e^{-\sigma t}} e^{-j\omega t} dt$$

z変換

$$X(z) = \sum_{n=0}^{\infty} x(n) z^{-n}$$

$$z = r e^{j\omega}$$

$$= \sum_{n=0}^{\infty} x(n) \underline{r^{-n}} e^{-j\omega n}$$

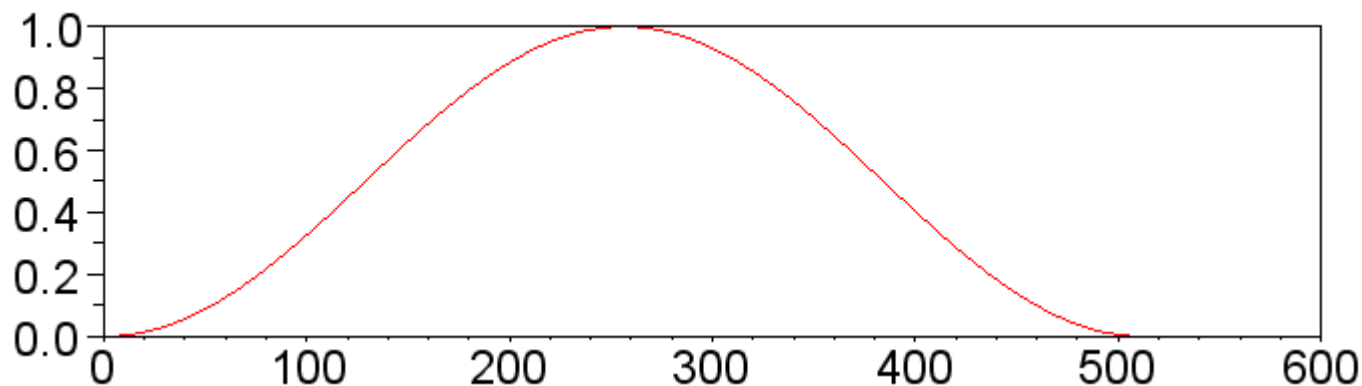
ラプラス変換

z変換

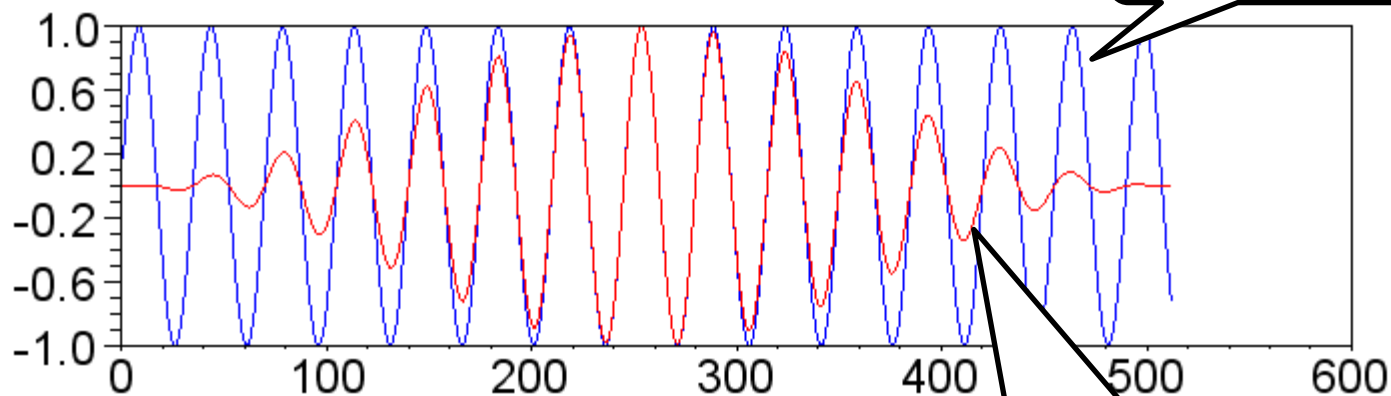
連続時間 $t \iff$ 離散時間 n

$$e^{\sigma} \iff r$$

- 窓関数



ハニング窓



元の信号

窓を掛けた信号

窓関数は、信号の端を0に減衰させる⇒フィルタ設計、信号解析

- 窓関数の種類

ハニング窓

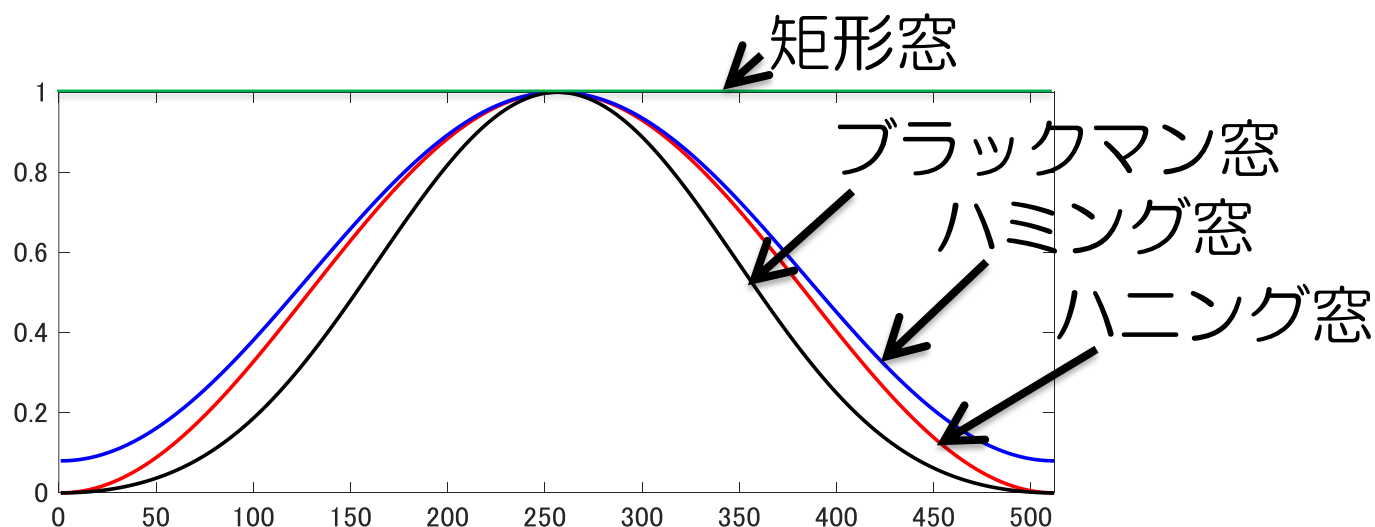
$$w_{\text{hn}}(n) = 0.5 - 0.5 \cos \left(\frac{2\pi n}{N-1} \right)$$

ハミング窓

$$w_{\text{hm}}(n) = 0.54 - 0.46 \cos \left(\frac{2\pi n}{N-1} \right)$$

ブラックマン窓

$$w(n)_{\text{bm}} = 0.42 - 0.5 \cos \left(\frac{2\pi n}{N-1} \right) + 0.08 \cos \left(\frac{4\pi n}{N-1} \right)$$



[Scilab演習]

正弦波に窓関数を掛けてからFFTを実行し，結果を確認せよ.

課題) 前回作成したフィルタ(LPF, HPF, BPF, NF)の
周波数振幅特性を示せ.

$$\text{LPF, HPF, BPF} \quad |H(\omega)| = \left| \sum_{m=0}^M h_m e^{-j\omega m} \right|$$
$$(\omega : 0 \rightarrow \pi)$$